

# ИЗОСПИНОВОЕ РАСЩЕПЛЕНИЕ ГИГАНТСКОГО ДИПОЛЬНОГО РЕЗОНАНСА И СЕЧЕНИЕ РЕАКЦИИ $^{64}\text{Zn}(\gamma, n)^{63}\text{Zn}$

*С.С.Вербицкий, А.М.Лапик, Б.С.Ратнер,  
А.Н.Сергеевский.*

Проведено исследование сечения реакции  $^{64}\text{Zn}(\gamma, n)^{63}\text{Zn}$  для энергичной компоненты нейтронного спектра ( $\epsilon_n > 3,7 \text{ Мэв}$ ). Анализ полученных данных указывает на ошибочность интерпретации структуры в сечении реакции  $^{64}\text{Zn}(\gamma, n)^{63}\text{Zn}$ , как проявления изоспинового расщепления.

Влияние сохранения изоспина на свойства сечений фотоядерных реакций рассмотрено во многих теоретических и экспериментальных

работах. Согласно правилам отбора по изоспину изовекторный электрический дипольный резонанс в ядрах с  $T \neq 0$  состоит из двух компонент с  $T = T_<$  ( $T_<$ ) и  $T = T_> + I$  ( $T_>$ ), энергия которых различается на величину  $\Delta E = \overset{\circ}{E}_> - E_< = \overset{\circ}{U} T_>/T_<$ , где  $U$  — энергия "симметрии" [1]. Ряд исследований сечения реакций ( $p, \gamma$ ), ( $y, n$ ), ( $y, p$ ) и др. в области ядер среднего веса был проведен для проверки этих данных. Полнее всего, в указанном плане, были изучены реакции на ядре  $^{64}\text{Zn}$  [2 — 6]. Так, было установлено [2], что в сечение реакции  $^{63}\text{Cu}(p, \gamma)^{64}\text{Zn}$  (а также в ряде других реакций этого типа на ядрах с  $A \sim 60$  и с  $A \sim 90$  наблюдается два пика, которые, по-видимому, относятся к резонансам  $T_<$  и  $T_>$ ). Близкая по энергии структура была обнаружена в сечении реакции  $^{64}\text{Zn}(\gamma, n)^{63}\text{Zn}$  [3, 6], что дало основание считать эту структуру также проявлением изоспинового расщепления. Следует отметить, что идентификация резонансов  $T_<$  и  $T_>$  содержит трудность, связанную с отсутствием у них специфических черт. Определенную ясность могут внести исследования, в ходе которых фиксируется энергия испущенного в реакции ( $y, n$ ) нейтрона. Дело в том, что распад резонанса  $T_>$  по нейтронному каналу разрешен лишь в состояния конечного ядра с изоспином,  $T_e = 1/2$ , которые расположены сравнительно высоко, т. е. сопровождается испусканием малознергичных нейтронов.

Одна из задач настоящего исследования, в котором измерено сечение реакции  $^{64}\text{Zn}(\gamma, n)^{63}\text{Zn}$  для энергичной компоненты нейтронного спектра заключалась в проверке правильности упомянутой выше идентификации структуры в сечении.

Исследование кривой выхода реакции  $^{64}\text{Zn}(\gamma, n)^{63}\text{Zn}$  при минимальном значении энергии испущенных нейтронов  $\epsilon_{min} = 3,7 \text{ MeV}$  проводились на синхротроне Института ядерных исследований АН СССР от порога до энергии границы тормозного спектра  $E_{\gamma m} = 26,3 \text{ MeV}$ , с шагом  $0,1 - 0,2 \text{ MeV}$ . Нейтроны регистрировались с помощью спектрометра на основе кристаллов стильбена, описанного ранее [7 — 9]. В качестве мишени использовался порошок окиси цинка, обогащенного до 99% изотопом  $^{64}\text{Zn}$  в количестве  $142 \text{ g}$ <sup>1)</sup>, помещенный в кассету из оргстекла. Для определения влияния реакции  $^{16}\text{O}(\gamma, n)^{15}\text{O}$  обусловленной кислородом, содержащимся в мишени, проводились измерения с кассетой, заполненной водой. Вклад фона в выход реакции составлял в зависимости от энергии  $E_{\gamma m}$  от 4 до 22%. Количество измерений выхода при каждом значении  $E_{\gamma m}$  составляло 10 — 11. Кривые выхода реакции  $^{64}\text{Zn}(\gamma, n)^{63}\text{Zn}$  после вычета фона и внесения поправок в том числе на эффективность регистрации с учетом формы энергетического спектра нейтронов обрабатывались на ЭВМ БЭСМ-6 по методу статистической регуляризации [10] для нахождения сечения. Ошибки в сечении, определялись, исходя из ошибок выхода способом, описанным ранее [7].

Сечение реакции  $^{64}\text{Zn}(\gamma, n)^{63}\text{Zn}$  при  $\epsilon_n \geq 3,7 \text{ MeV}$  представлено на рис. 1 (кривая 1), где показаны также сечение реакции  $^{64}\text{Zn}(\gamma, n)^{63}\text{Zn}$  [3] и суммарное сечение реакций  $^{64}\text{Zn}(\gamma, n)^{63}\text{Zn}$  и  $^{64}\text{Zn}(\gamma, np)^{62}\text{Cu}$  [6],

<sup>1)</sup>Получен в Государственном фонде стабильных изотопов.

сопровождающихся испусканием нейтронов всех энергий. При регистрации энергичных нейтронов вклад реакции ( $\gamma$ , pr) весьма мал из-за ее высокого эффективного порога (полагая  $\epsilon_{p, min} = 2 \text{ МэВ}$  и  $E_{o, pr} = 18,5 \text{ МэВ}$  получим значение порога равное  $24,2 \text{ МэВ}$ ). Нормирование кривой сечения производилось путем экстраполяции спектра нейтронов в области малой энергии и определения доли нейтронов с  $\epsilon_n \geq 3,7 \text{ МэВ}$ .

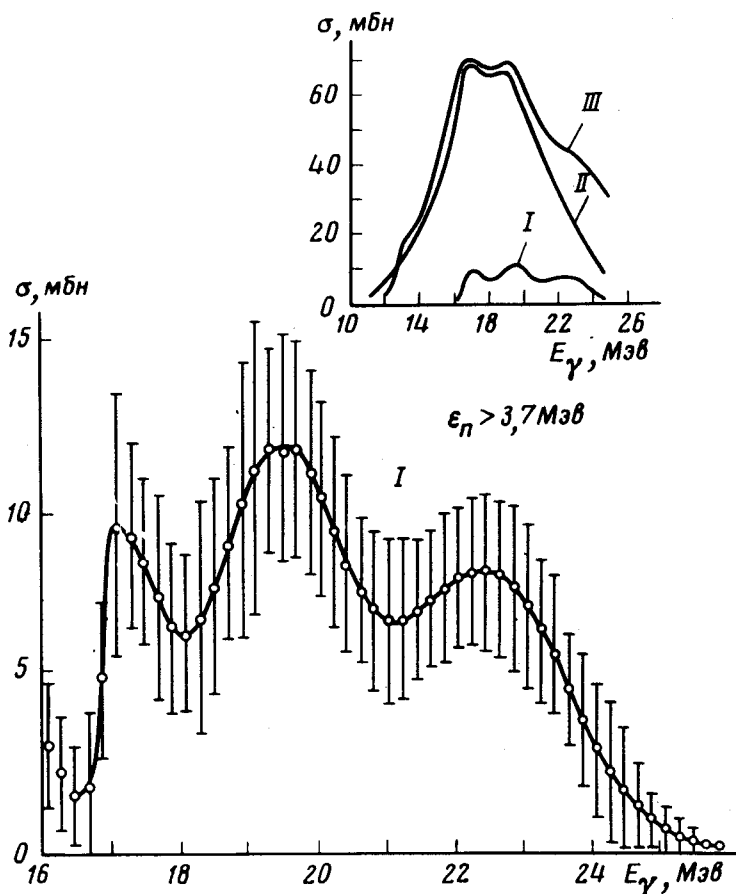


Рис.1. Кривая I. Сечения реакции  $^{64}\text{Zn}(\gamma, n)^{63}\text{Zn}$  для нейтронов с энергией  $\epsilon_n > 3,7 \text{ МэВ}$ , полученное в настоящей работе. Кривая II. Сечение реакции  $^{64}\text{Zn}(\gamma, n)^{63}\text{Zn}$  из работы [3]. Кривая III. Суммарное сечение реакций  $^{64}\text{Zn}(n, n)$  и  $^{64}\text{Zn}(\gamma, pr)^{62}\text{Cu}$  из работы [6].

Из сопоставления сечений реакции ( $\gamma, n$ ) для энергичных нейтронов (I) и нейтронов всех энергий (III) видно, что максимумы при  $E_\gamma \sim 17,0 \text{ МэВ}$  и  $19,0 \text{ МэВ}$  имеются на обеих кривых. (отметим, кстати, что максимум в сечении реакции ( $p, \gamma$ ) при  $E = 15,8 \text{ МэВ}$  смещен на  $1 \text{ МэВ}$  относительно максимума в реакции ( $\gamma, n$ ). Построив разность сечений II и I (рис. 2) мы найдем сечение для испускания нейтронов с энергией  $\epsilon_n < 3,7 \text{ МэВ}$ . На этой кривой пик при  $E_\gamma = 18,9 \text{ МэВ}$  отсутствует. Нижнее состояние конечного ядра  $^{63}\text{Zn}$  с  $T = T_0 + \frac{1}{2}$ , в кото-

рое может произойти распад резонанса  $T_>$  имеет энергию  $E = 5,42 \text{ МэВ}$  [11]. Энергия нейтронов испущенных при этом  $\epsilon_n = 18,9 - 11,9 - 5,4 = 1,6 \text{ МэВ}$ . Отсюда следует, что максимум в сечении реакции  $(\gamma, n)$  при  $E_\gamma = 18,9 \text{ МэВ}$  нельзя приписывать резонансу  $T_>$ .

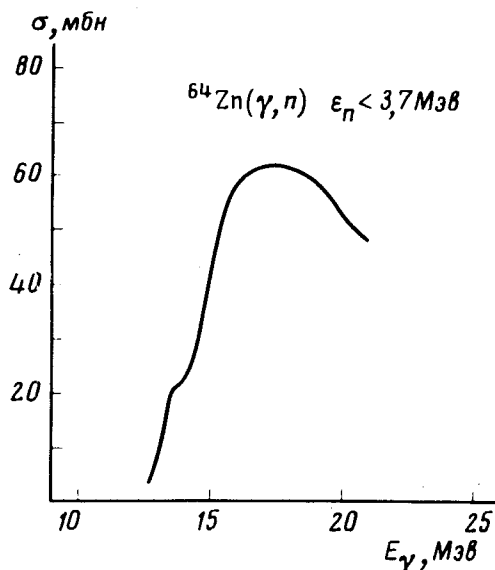


Рис.2. Сечение для испускания нейтронов с энергией  $\epsilon_n < 3,7 \text{ МэВ}$  в реакции  $^{64}\text{Zn}(\gamma, n)^{63}\text{Zn}$ , полученное из разности сечений III и I рис.1.

Таким образом, результаты настоящей работы, по-видимому, указывают на отсутствие заметного изоспинового расщепления в сечении реакции  $^{64}\text{Zn}(\gamma, n)^{63}\text{Zn}$ . Подобный вывод, вероятно, не противоречит наблюдениям расщепления по изоспину в реакции  $(p, \gamma)$ , так как в этом случае отсутствуют ограничения, связанные с правилами отбора. Кроме того, реакции  $(p, \gamma)$  соответствует (в обратной реакции) переход конечного ядра в основное состояние, дающий малый вклад в сечение фотопоглощения. Более подробное обсуждение других результатов настоящего исследования будет представлено позже.

Институт ядерных исследований  
Академии наук СССР

Поступила в редакцию  
2 февраля 1978 г.

### Литература

- [1] R.O.Akyuz, S.Fallieros. Phys. Rev. Lett., **27**, 1016, 1971.
- [2] P.Paul, J.F.Amann, K.A.Snower. Phys. Rev. Lett., **27**, 1013, 1971.
- [3] B.C.Cook, R.C.Morrison, F.H.Schamber. Phys. Rev. Lett., **25**, 685, 1970.
- [4] C.Yamaguchi. J. Phys. Soc. Japan., **34**, 1123, 1973.
- [5] G.E.Clark, R.C.Morrison, J.E.E.Baglin, B.C.Cook. Nucl. Phys., **A213** 358, 1973.
- [6] P.Carlos, H.Beil, R.Bergere, J.Fagot, A.Lepretre, A.Veyssiére, G.V.Solodukhov. Nucl. Phys., **A258**, 365, 1976.
- [7] С.С.Вербицкий, Б.С.Ратнер, А.Н.Сергиевский. Письма в ЖЭТФ, **23**, 538, 1976.

- [8] B.S.Ratner, A.N.Sergievsky, S.S.Verbitsky. Nucl. Phys., A285, 71, 1977.
- [9] С.С.Вербицкий, Б.С.Ратнер. Краткие сообщения по физике, I, 40, 1977 г.
- [10] В.Г.Иванченко. Труды ФИАН СССР, 63, 151, 1972 г.
- [11] C.M.Fou, R.W.Zurmuhle, J.M.Joyce. Nucl. Phys., A97, 458, 1967.